



PONTIFICIA UNIVERSIDAD CATÓLICA DE CHILE
FACULTAD DE FÍSICA - INSTITUTO DE FÍSICA
FIZ0322 - FÍSICA CUÁNTICA I
PROFESOR: RAFAEL BENGURIA (rbenguri@fis.puc.cl)
AYUDANTES: EITAN DVORQUEZ (edvorquez@uc.cl)
FERNANDA CORREA (fpazcorrea@uc.cl)

Resumen Física Cuántica I

2020 - 2

■ Teorema de Ehrenfest

$$\langle \mathbf{p} \rangle = m \frac{d \langle x \rangle}{dt} = -i\hbar \int \bar{\Psi} \frac{\partial \Psi}{\partial x} dx \quad (1)$$

$$\frac{d}{dt} (\langle \mathbf{p} \rangle) = - \langle V'(x) \rangle \quad (2)$$

■ Ecuación de Schrödinger Estacionaria

$$H\phi = E\phi \quad -\frac{\hbar^2}{2m} \frac{\partial^2 \phi}{\partial x^2} + V\phi = E\phi \quad (3)$$

■ Solución General

$$\Psi(x, t) = \sum_{n=1}^{\infty} c_n \phi_n(x) e^{-\frac{iE_n t}{\hbar}} \quad c_n = \int \phi_n(x) \Psi(x, 0) dx \quad (4)$$

■ Pozo infinito

Dado un potencial de la forma:

$$V(x) = \begin{cases} \infty & \text{si } x < 0 \text{ o } x > a \\ 0 & \text{si } 0 < x < a \end{cases}$$

Se tiene que los niveles de energía posibles están dados por:

$$E_n = \frac{\hbar^2}{2m} \left(\frac{n\pi}{a} \right)^2 \quad (5)$$

Mientras que los estados propios siguen la forma:

$$\phi_n = \sqrt{\frac{2}{a}} \operatorname{sen} \left(\frac{n\pi x}{a} \right) \quad (6)$$

■ Principio de incertidumbre

$$\sigma_x \sigma_p \geq \frac{\hbar}{2} \quad (7)$$

■ Tabla de Integrales

$$\int_{-\infty}^{\infty} e^{-ax^2} dx = \sqrt{\frac{\pi}{a}} \quad (8)$$

$$\int_{-\infty}^{\infty} x^2 e^{-ax^2} dx = \sqrt{\frac{\pi}{a}} \frac{1}{2a} \quad (9)$$

$$\int_{-\infty}^{\infty} e^{-ax^2+bx} dx = \sqrt{\frac{\pi}{a}} e^{b^2/4a} \quad (10)$$

■ Oscilador Armónico

• Hamiltoniano

$$H = \frac{p^2}{2m} + \frac{1}{2}mw^2x^2 \quad (11)$$

• Operadores de subida y bajada

$$a = \frac{1}{\sqrt{2wm\hbar}} (wm x + ip) \quad (12)$$

$$a^+ = \frac{1}{\sqrt{2wm\hbar}} (wm x - ip) \quad (13)$$

- a y a^+ satisfacen $[a, a^+] = 1$
- Cuando actúan sobre las funciones propias del Hamiltoniano del oscilador armónico, satisfacen las siguientes relaciones:

$$a^+ \phi_n = \sqrt{n+1} \phi_{n+1} \quad (14)$$

$$a \phi_n = \sqrt{n} \phi_{n-1} \quad (15)$$

• Operador N

Definimos

$$N = a^+ a \quad (16)$$

Podemos relacionar este operador con el hamiltoniano del oscilador armónico, de forma que:

$$H = \hbar w \left(N + \frac{1}{2} \right) \quad E_n = \left(n + \frac{1}{2} \right) \hbar w \quad (17)$$

■ Potencial Delta

Truco: Condición de Salto

Para esta clase de problemas debemos considerar que en todo el espacio, salvo en el punto en donde está centrado el potencial delta, el potencial es igual a cero (a menos que nos indiquen lo contrario). Planteando la ecuación de Schrödinger justo en el punto central del potencial e integrándola en un intervalo muy pequeño, obtenemos una “condición de salto”. A partir de lo anterior y las condiciones de continuidad y borde adecuadas, podemos encontrar las energías permitidas para el problema. Por ejemplo:

$$-\frac{\hbar^2}{2m}\phi'' - \lambda\delta(x)\phi = E\phi \quad \Bigg/ \quad \int_{-\epsilon}^{\epsilon} \quad \text{con } \epsilon \rightarrow 0 \quad (18)$$

■ Operadores que conmutan

Si A y B son hermíticos y conmutan ($[A, B] = 0$), entonces se pueden diagonalizar simultáneamente y comparten los valores propios.

■ Coeficientes de Reflexión y Transmisión

Consideramos que “lanzamos” un paquete de ondas planas desde la izquierda de la Figura 1.

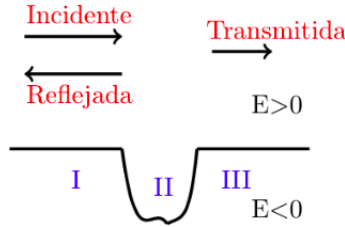


Figura 1: Representación reflexión y transmisión

Consideramos:

$$\Psi_{izq}(x) = \underbrace{Ae^{ikx}}_{Incidente} + \underbrace{Fe^{-ikx}}_{Reflejada} \quad \Psi_{der}(x) = \underbrace{Ge^{ikx}}_{Transmitida} \quad (19)$$

y buscamos los coeficientes R y T:

$$R = \frac{|F|^2}{|A|^2} \quad T = \frac{|G|^2}{|A|^2} \quad R + T = 1 \quad (20)$$

■ Ecuación de Schrödinger en 3D

$$H = -\frac{\hbar^2}{2m}\Delta + V(\vec{r}) = \frac{p^2}{2m} + V(r) \quad \vec{p} = -i\hbar\nabla; \quad p^2 = -\hbar^2\Delta \quad (21)$$

■ Átomo de Hidrógeno

El potencial característico del átomo de Hidrógeno es:

$$V(r) = -\frac{e^2}{4\pi\epsilon_0 r} \quad (22)$$

Luego de aplicar el método de separación de variables para resolver la ecuación de Schrödinger tridimensional y tras un arduo análisis matemático llegamos a la siguiente expresión para la función de onda que describe el átomo de Hidrógeno:

$$\begin{aligned}\Psi_{nlm} &= R_{nl}(r) Y_{lm}(\theta, \phi) \\ &= \sqrt{\left(\frac{2}{na_0}\right)^3 \frac{(n-l-1)!}{2n[(n+l)!]^3}} e^{-\frac{r}{na_0}} \left(\frac{2r}{na_0}\right)^l \left[L_{n-l-1}^{2l+1}\left(\frac{2r}{na_0}\right)\right] Y_l^m(\theta, \phi)\end{aligned}\quad (23)$$

Donde a_0 es el radio de Bohr definido por:

$$a_0 = \frac{4\pi\epsilon_0 \hbar^2}{e^2 m} \quad (24)$$

y las energías permitidas vienen dadas por:

$$E_n = -\frac{m}{2\hbar^2} \left(\frac{e^2}{4\pi\epsilon_0}\right)^2 \frac{1}{n^2} = \frac{E_1}{n^2} \quad E_1 = -13,6eV \quad (25)$$

■ Operadores que conmutan

Si A y B son hermíticos y conmutan ($[A, B] = 0$), entonces se pueden diagonalizar simultáneamente y tienen un conjunto común de funciones propias.

■ Momentum Angular

Consideramos $\vec{L} = \vec{r} \times \vec{p}$ como el momentum angular o generador de rotaciones. Podemos escribir sus componentes como:

$$\begin{aligned}L_x &= yp_z - zp_y \\ L_y &= zp_x - xp_z \\ L_z &= xp_y - yp_x\end{aligned}\quad (26)$$

\vec{L} satisface el “Álgebra de Lie”(que también conoceremos como álgebra de momentum angular)

$$\begin{aligned}[L_x, L_y] &= i\hbar L_z \\ [L_y, L_z] &= i\hbar L_x \\ [L_z, L_x] &= i\hbar L_y\end{aligned}\quad (27)$$

Con estas relaciones se puede mostrar que:

$$[L^2, L_z] = 0 \quad (28)$$

Será útil recordar:

$$[x, p] = i\hbar \quad [x_j, p_k] = i\hbar \delta_{jk} \quad (29)$$

■ Momentum Angular y esféricos armónicos

Si se satisfacen las relaciones de conmutación, se puede demostrar que:

$$\begin{aligned}L^2 Y_{lm} &= \hbar^2 l(l+1) Y_{lm} \\ L_z Y_{lm} &= \hbar m Y_{lm}\end{aligned}\quad (30)$$

De esto extraemos que los esféricos armónicos son funciones propias de L^2 y L_z con valores propios $\hbar^2 l(l+1)$ y $m\hbar$, respectivamente

■ Momentum Angular General

Vamos a decir que \vec{J} es un momentum angular general si satisface el álgebra de momentum angular generalizado:

$$\begin{aligned} [J_x, J_y] &= i\hbar J_z \\ [J_y, J_z] &= i\hbar J_x \\ [J_z, J_x] &= i\hbar J_y \end{aligned} \quad (31)$$

Con estas relaciones se puede mostrar que J^2 conmuta con todas las componentes de J :

$$[J^2, J_i] = 0 \quad (32)$$

■ Momentum Angular, operadores de subida y bajada

$$\begin{aligned} J_+ &= J_x + iJ_y \\ J_- &= J_x - iJ_y \end{aligned} \quad (33)$$

Estos operadores satisfacen:

$$\begin{aligned} [J_z, J_\pm] &= \pm\hbar J_\pm \\ [J^2, J_\pm] &= 0 \end{aligned} \quad (34)$$

■ Momentum Angular y el problema espectral

Se puede demostrar que:

$$\begin{aligned} J^2 |jm\rangle &= \hbar^2 l(l+1) |jm\rangle \\ J_z |jm\rangle &= \hbar m |jm\rangle \end{aligned} \quad (35)$$

■ Elementos de matrices de los J 's para j dado

Consideremos

$$\begin{aligned} \langle jm' | J_z | jm \rangle &= \hbar m \delta_{m'm} \\ \langle jm' | J^2 | jm \rangle &= \hbar^2 j(j+1) \delta_{m'm} \\ \langle jm' | J_+ | jm \rangle &= \hbar \sqrt{(j-m)(j+m+1)} \delta_{m'(m+1)} \\ \langle jm' | J_- | jm \rangle &= \hbar \sqrt{(j+m)(j-m+1)} \delta_{m'(m-1)} \end{aligned} \quad (36)$$

■ Matrices de Pauli

Definimos las matrices de Pauli para el caso de Spin $\frac{1}{2}$ como:

$$\sigma_x = \begin{pmatrix} 0 & 1 \\ 1 & 0 \end{pmatrix} \quad \sigma_y = \begin{pmatrix} 0 & -i \\ i & 0 \end{pmatrix} \quad \sigma_z = \begin{pmatrix} 1 & 0 \\ 0 & -1 \end{pmatrix} \quad (37)$$

Estas matrices son hermíticas y sus valores propios son ± 1 . Se cumple que:

$$\sigma_x^2 = \sigma_y^2 = \sigma_z^2 = \mathbb{I} \quad (38)$$

y además son cíclicas:

$$\begin{aligned}\sigma_x \sigma_y &= i\sigma_z \\ \sigma_y \sigma_z &= i\sigma_x \\ \sigma_z \sigma_x &= i\sigma_y\end{aligned}\tag{39}$$

■ Matrices de Spin

Podemos escribir las matrices de Spin como:

$$\mathbb{S}_x = \frac{1}{2}\hbar\sigma_x \quad \mathbb{S}_y = \frac{1}{2}\hbar\sigma_y \quad \mathbb{S}_z = \frac{1}{2}\hbar\sigma_z\tag{40}$$

■ Suma de Momentum Angular

Ante una suma de momentum angular con j_1 y j_2 tenemos que los posibles valores de j serán:

$$j = |j_1 - j_2|, |j_1 - j_2| + 1, \dots, j_1 + j_2\tag{41}$$

Por otro lado, los posibles valores de m estarán dados por:

$$m = -j, \dots, j\tag{42}$$

siempre y cuando los “saltos” que se vayan dando sean iguales a 1.

Por último, de acuerdo a lo visto en clases tenemos:

$$|j \ m\rangle = \sum_{m_1+m_2=m} C_{m_1, m_2, m}^{j_1, j_2, j} |j_1 \ m_1\rangle |j_2 \ m_2\rangle\tag{43}$$

Donde $|j_1 \ m_1\rangle |j_2 \ m_2\rangle$ es el producto directo de los kets. Los coeficientes C son los coeficientes de Clebsch-Gordan, que se encuentran tabulados.

■ Teorema de Bloch

Dado un potencial periódico de la forma

$$V(x + a) = V(x)\tag{44}$$

El teorema de Bloch nos dice que para tal potencial, las soluciones a la ecuación de Schrödinger

$$-\frac{\hbar^2}{2m} \frac{d^2\Psi}{dx^2} + V(x)\Psi = E\Psi\tag{45}$$

Satisfacen la condición:

$$\Psi(x + a) = e^{iKa}\Psi(x)\tag{46}$$

Para una constante K (independiente de x).

Se puede mostrar que se satisface también:

$$|\Psi(x + a)|^2 = |\Psi(x)|^2\tag{47}$$